УДК 539.1.074.3

СЦИНТИЛЛЯЦИОННЫЕ ХАРАКТЕРИСТИКИ КРИСТАЛЛИЧЕСКОГО МОДУЛЯ ${ m Lu_2SiO_{5-z}:Y^{3+}:Ce^{3+}:Ca^{2+}}$

А. И. Загуменный , М. В. Белов , В. И. Власов , Ю. Д. Заварцев , М. В. Завертяев , В. А. Козлов , Н. В. Пестовский , С. Ю. Савинов , В. С. Цхай

Исследованы оптические и сцинтилляционные характеристики модуля прототипа электромагнитного калориметра на основе кристалла Lu_2SiO_{5-z} : Y^{3+} : Ce^{3+} : Ca^{2+} с размерами $20\times20\times90$ мм 3 , выращенного методом Чохральского. Измерено время высвечивания кристаллического модуля под действием возбуждения гаммаквантов от источника 137 Cs. Для оценки энергетического разрешения кристаллического модуля было проведено его моделирование с помощью программы GEANT4.

Ключевые слова: сцинтилляционный кристалл, гамма-излучение, время затухания сцинтилляций, энергетическое разрешение.

Разработка новых высокоплотных кристаллов-сцинтилляторов, которые можно использовать в условиях высоких радиационных нагрузок, актуальна как для работающих на современных коллайдерах электромагнитных калориметрах, так и для использования на ускорительных комплексах, создание которых планируется в ближайшие годы. Одними из перспективных сцинтилляторов являются кристаллы на основе оксиортосиликата лютеция (LSO и LSO). Сцинтилляционные кристаллы LSO(CeLuSiO) впервые были исследованы С. L. Melcher и J. S. Schweitzer в 1992 г. как новые материалы для использования в гамма-детекторах [1], кристаллы LYSO (Ce(Lu,Y)SiO) были выращены и исследованы D. W. Cooke в 2000 г. [2].

Технология выращивания кристаллов оксиортосиликата лютеция $Lu_2SiO_5:Ce^{3+}$ и $Lu_2SiO_{5-z}:Ce^{3+}:Ca^{2+}$ методом Чохральского впервые была предложена в работе Заварцева и др. [3].

¹ ИОФ РАН, 119991 Россия, Москва, ул. Вавилова, 38.

² ФИАН, 119991 Россия, Москва, Ленинский пр-т, 53; e-mail: kozlovva@lebedev.ru.

Радиационно стойкий кристаллический сцинтиллятор на основе оксиортосиликата лютеция LFS-3 ($Ce_xLu_{2+2y-x-z}A_zSi_{1-y}O_{5+y}$, где A – по крайней мере один элемент из группы Ca, Gd, Sc, Y, La, Eu и Tb) был исследован нами в 2013 г. с целью использования в электромагнитной калориметрии [4]. В работе [5] показано, что легирование кристаллов LSO:Се ионами Ca^{2+} приводит к увеличению абсолютного световыхода и уменьшению постоянной времени высвечивания. В нашей работе [6] было проведено сравнение монокристаллического, порошкового и композиционного сцинтилляторовоксиортосиликатов.

Данная статья посвящена исследованию сцинтилляционных свойств модуля нового промышленного кристалла $Lu_2SiO_{5-z}:Y^{3+}:Ce^{3+}:Ca^{2+}$, перспективного для использования в современных электромагнитных калориметрах.

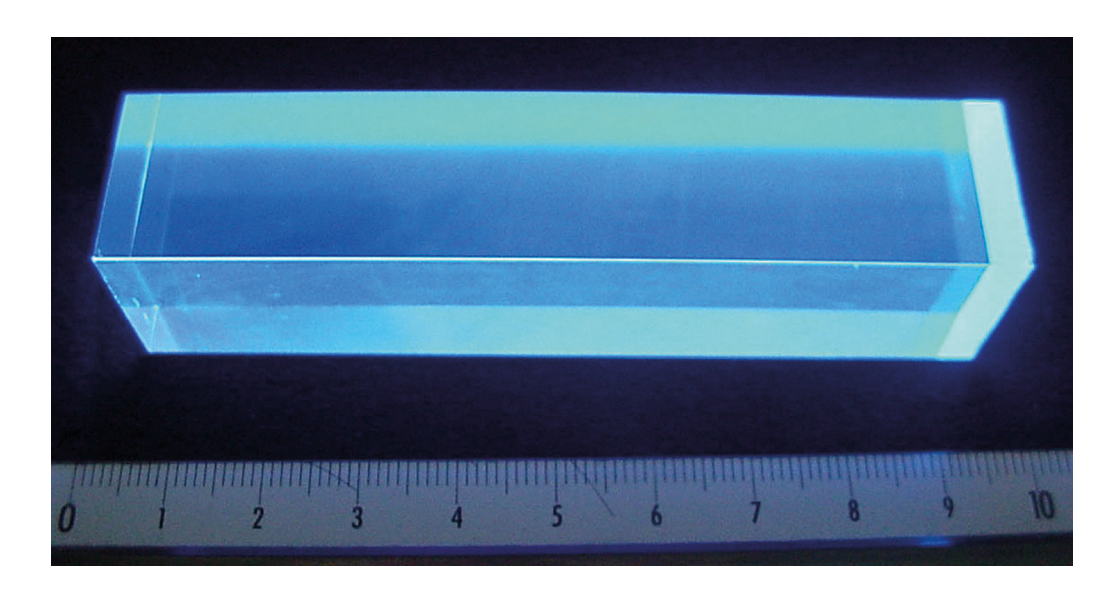


Рис. 1: Фотография модуля кристалла Lu_2SiO_{5-z} : Y^{3+} : Ce^{3+} : Ca^{2+} .

Высокоэффективные кристаллы $\text{Lu}_2 \text{SiO}_{5-z}$: Y^{3+} : Ce^{3+} : Ca^{2+} (LYSO с химической формулой соединения $\text{Lu}_{(2-y)} \text{Y}_{(y-z-x)}$ $\text{Ce}_x \text{Ca}_z \text{SiO}_{5-z}$, концентрацией иттрия $\text{Y}_{0.05}$, плотностью 7.36 г/см³, эффективным атомным номером Z=63.7) были выращены из 70-85% исходного расплава с использованием метод Чохральского. Оптимизация параметров процесса выращивания и состава исходного расплава позволила вырастить кристаллические були диаметром 75÷80 мм [7]. Для проведения измерений оптических и сцинтилляционных характеристик были изготовлены наборы полированных образцов кристаллов с размерами $20 \times 20 \times 1.5$ мм³ и $22 \times 22 \times 5$ мм³, а также калориметрический модуль размером $20 \times 20 \times 90$ мм³ (рис. 1). В кристалле LYSO производства Saint Gobain

(Lu_{1.8}Y_{0.2}SiO₅:Ce) для медицинских томографов концентрация иттрия в 4 раза выше в сравнении с исследуемым кристаллом, вследствие чего плотность и эффективный атомный номер уменьшаются до $7.10~\text{г/см}^3$ и Z=63.4, соответственно.

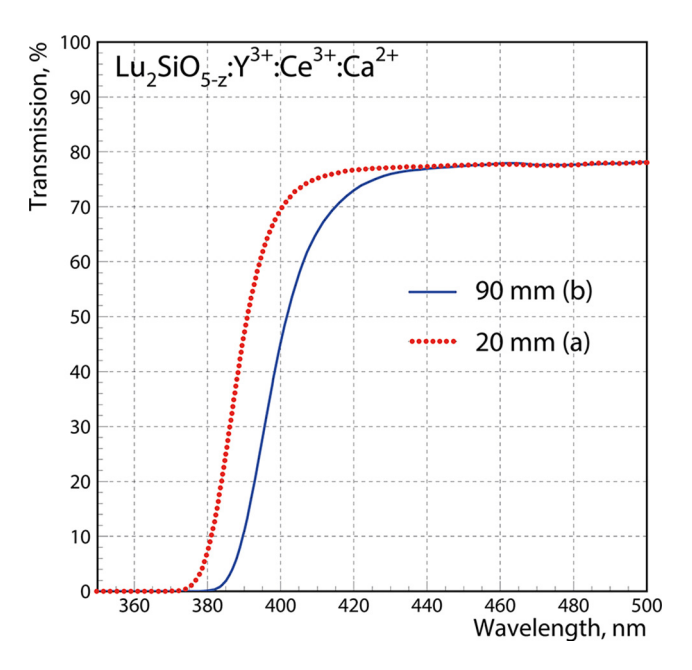


Рис. 2: Спектры пропускания кристалла $Lu_2SiO_{5-z}:Y^{3+}:Ce^{3+}:Ca^{2+}:$ (a) в поперечном направлении (20 мм), (b) по продольной оси модуля (90 мм).

Спектры оптического пропускания образцов толщиной 1.5 мм, 5 мм и 90 мм измерялись спектрофотометром Shimadzu UV-3101PC в интервале 350÷500 нм (рис. 2).

Для измерения амплитудных распределений (фотопиков) от кристаллического модуля ${\rm Lu_2SiO_{5-z}:Y^{3+}:Ce^{3+}:Ca^{2+}}$ использовались гамма-кванты от источника $^{137}{\rm Cs.}$ Исследуемый сцинтилляционный кристалл был соединен с фотоумножителем (ФЭУ) Натаваты R4125Q с кварцевым окном с помощью оптической смазки Dow Corning Q2-3067. Все остальные поверхности кристалла были завернуты в один слой алюминизированного майлара.

Сигнал от фотоумножителя через предусилитель Canberra 2007В поступал на спектрометрический усилитель POLON 1101, и далее на амплитудно-цифровой преобразователь (АЦП) Schlumberger JCAN-21C, конвертировавший его в относительные единицы — каналы АЦП. Таким образом номер канала АЦП прямо пропорционален энергии сцинтилляционного сигнала. На рис. 3 приведен пик сцинтилляционного сигнала при облучении кристалла $\text{Lu}_2\text{SiO}_{5-z}$: Y^{3+} : Ce^{3+} : Ca^{2+} гамма-квантами от радиоактивного источника ^{137}Cs .

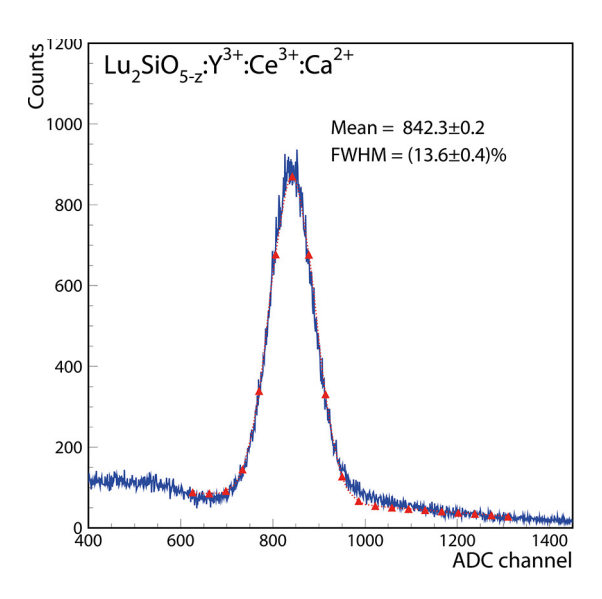


Рис. 3: Амплитудное распределение (в каналах АЦП) сцинтилляционного сигнала от кристалла $Lu_2SiO_{5-z}:Y^{3+}:Ce^{3+}:Ca^{2+}$, облученного гамма-квантами от источника ^{137}Cs .

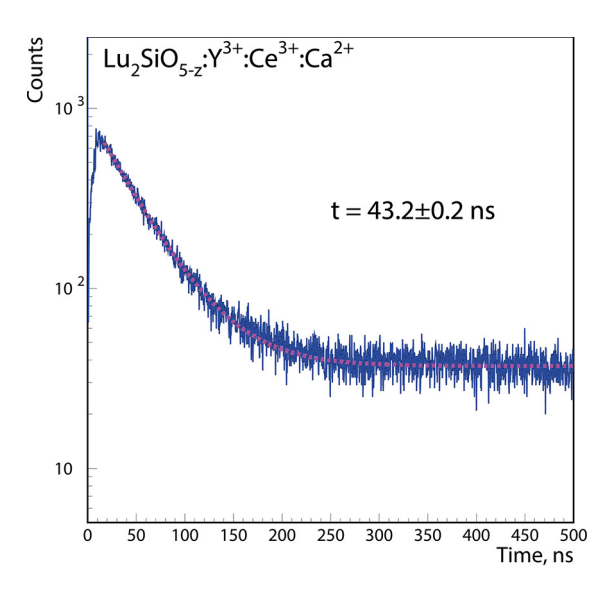


Рис. 4: Спектр времени высвечивания сцинтиллятора $Lu_2SiO_{5-z}:Y^{3+}:Ce^{3+}:Ca^{2+}=20\times20\times90$ мм³.

Времена высвечивания кристаллов LYSO исследовались с использованием метода "задержанных совпадений", который заключается в измерении распределения временных интервалов Δt между возбуждением в сцинтилляторе и образованием фотоэлектрона на фотокатоде ФЭУ. Временное распределение измерялось относительно сигнала

"Старт", который получался от исследуемого кристалла, присоединенного к фотоумножителю Натаваты R4125Q. Сигнал "Стоп" формировался ФЭУ R4125Q, присоединенным к противоположному торцу кристалла. Диафрагма перед этим ФЭУ позволяла регулировать световой поток от сцинтиллятора для того, чтобы система работала в режиме счета фотонов. Кристалл облучался гамма-квантами от источника 137 Cs. Сигналы с фотоумножителей каналов "Старт" и "Стоп" через предусилители поступали на дискриминаторы со следящим порогом CAEN C808 и далее на 2048-канальный времящифровой преобразователь KA-317, информация с которого считывалась в память персонального компьютера. Зависимость интенсивности высвечивания от времени для модуля LYSO приведена на рис. 4. Для определения параметров временного спектра использовалась функция вида $I = I_0 + I_1 \cdot e^{(-t/\tau)}$, где τ — время высвечивания сцинтиллятора, за которое интенсивность светового излучения уменьшается в e-раз, I_0 , I_1 — интенсивности высвечивания. При облучении противоположного от ФЭУ торца кристаллического модуля было получено время высвечивания кристалла 43.2 ± 0.2 нс.

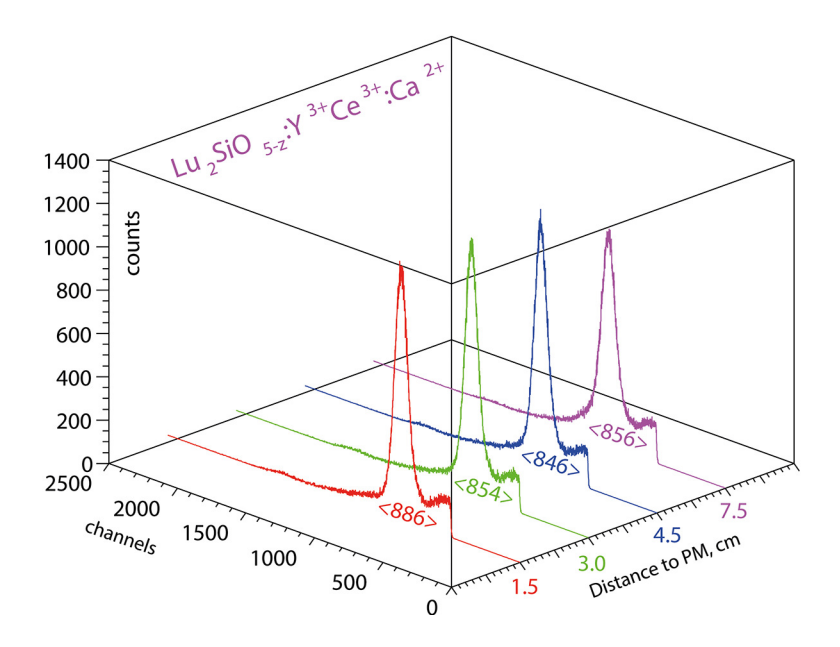


Рис. 5: Амплитудное распределение модуля $Lu_2SiO_{5-z}:Y^{3+}:Ce^{3+}:Ca^{2+}$ в зависимости от расстояния между источником ^{137}Cs и фотоумножителем.

Для изучения однородности отклика были измерены амплитудные распределения при облучении модуля источником ¹³⁷Cs в четырех точках, распределенных вдоль оси кристалла (рис. 5). Из полученных данных следует, что систематическая ошибка измерения однородности отклика не превышает 3%.

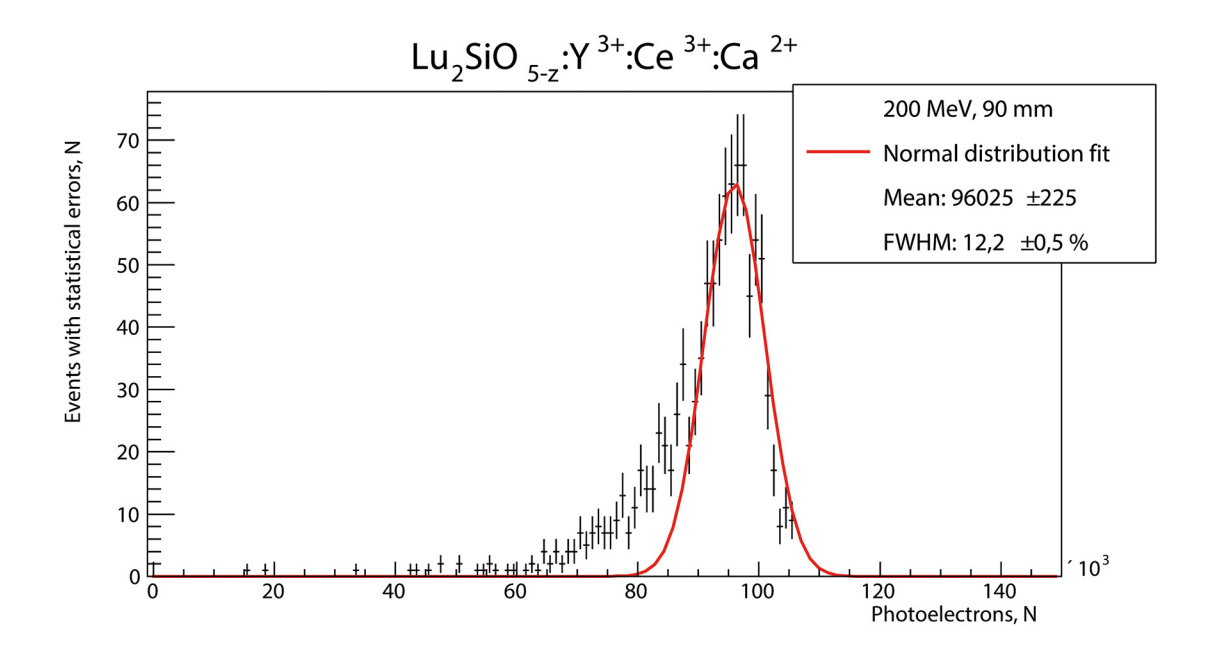


Рис. 6: Распределение числа событий по количеству фотоэлектронов, полученных при облучении кристаллического модуля $Lu_2SiO_{5-z}:Y^{3+}:Ce^{3+}:Ca^{2+}$ электронами с энергией 200 МэВ.

Для оценки энергетического разрешения модуля прототипа электромагнитного калориметра на основе кристалла Lu_2SiO_{5-z} : Y^{3+} : Ce^{3+} : Ca^{2+} было проведено моделирование кристаллов LYSO квадратного сечения 10×10 см² и длиной 9 см с помощью программы GEANT4 [8]. Оптические свойства кристалла (коэффициент преломления, длины поглощения, спектр и интенсивность сцинтилляции) моделировались на основе лабораторных измерений. Поверхность моделировалась как полированная, обернутая тефлоновой пленкой. В качестве источника был взят тонкий пучок моноэнергетических электронов, падающий в центр передней грани кристалла вдоль его продольной оси. Одним событием считались все процессы от испускания первичного электрона до окончания всех взаимодействий и покиданием вторичными частицами области кристалла. Для взаимодействия первичного электрона и вторичных частиц каскада с кристаллом моделировался процесс сцинтилляции и дальнейшего взаимодействия оптических фотонов с веществом и поверхностью кристалла. При попадании оптического фотона на окно фотоумножителя определялась вероятность произвести фотоэлектрон в зависимости от квантовой эффективности Hamamatsu R4125Q на длине волны фотона. Число фотоэлектронов, полученных при облучении детекторного модуля единичным электроном с энергией 200 МэВ, заносилось в гистограмму. Полученное распределение числа

событий по количеству фотоэлектронов с указанием статистической погрешности и результаты аппроксимации с использованием нормального распределения представлены на рис. 6.

Исследованы оптические и сцинтилляционные характеристики модуля на основе кристалла $Lu_2SiO_{5-z}:Y^{3+}:Ce^{3+}:Ca^{2+}$ с целью использования этих кристаллов в электромагнитной калориметрии. С помощью программы GEANT4 рассчитано энергетическое разрешение модуля для энергии электронов 200 MэB, которое составило $(12.2\pm0.5)\%$.

ЛИТЕРАТУРА

- [1] C. Melcher, J. Schweitzer, IEEE Trans. Nucl. Sci. **39**(4), 502 (1992). DOI: 10.1109/23.159655.
- [2] D. W. Cooke, K. J. McClellan, B. L. Bennett, et al., J. Appl. Phys. 88, 7360 (2000). https://doi.org/10.1063/1.1328775.
- [3] Y. D. Zavartsev, S. A. Koutovoi, A. I. Zagumennyi, J. Cryst. Growth **275**(1–2), e2167 (2005). https://doi.org/10.1016/j.jcrysgro.2004.11.290.
- [4] Ю. Д. Заварцев, М. В. Завертяев, А. И. Загуменный и др., Краткие сообщения по физике ФИАН **40**(2), 13 (2013). DOI: 10.3103/S1068335613020024.
- [5] M. A. Spurrier, P. Szupryczynski, H. Rothfuss, et al., J. Cryst. Growth 310, 2110 (2008).
 DOI: 10.1016/j.jcrysgro.2007.10.075.
- [6] А. И. Загуменный, М. В. Белов, Ю. Д. Заварцев и др., Краткие сообщения по физике ФИАН **49**(8), 41 (2022). DOI: 10.3103/S1068335622080085.
- [7] И. М. Ермоченков, Ю. Д. Заварцев, А. И. Загуменный и др., Краткие сообщения по физике ФИАН **51**(2), 39 (2024). DOI: 10.3103/S1068335623601231.
- [8] J. Allison, K. Amako, J. Apostolakis, et al., Nucl. Instrum. Meth. A 835, 186 (2016).
 https://doi.org/10.1016/j.nima.2016.06.125.

Поступила в редакцию 27 февраля 2025 г. После доработки 20 июня 2025 г. Принята к публикации 24 июня 2025 г.